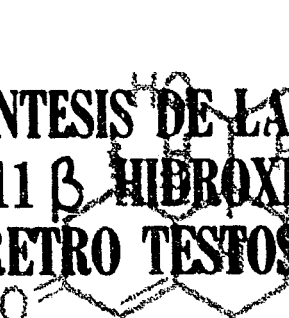


16

SINTESIS DE LA 1 $\beta$ -METIL  
11 $\beta$ -HIDROXI 19-NOR  
RETRO TESTOSTERONA



TESIS PROFESIONAL.

MARIA DEL CARMEN AGUILERA ESPINOZA

MEXICO, D. F.  
1964

1637



**UNAM – Dirección General de Bibliotecas**

**Tesis Digitales**  
**Restricciones de uso**

**DERECHOS RESERVADOS ©**  
**PROHIBIDA SU REPRODUCCIÓN TOTAL O PARCIAL**

Todo el material contenido en esta tesis está protegido por la Ley Federal del Derecho de Autor (LFDA) de los Estados Unidos Mexicanos (Méjico).

El uso de imágenes, fragmentos de videos, y demás material que sea objeto de protección de los derechos de autor, será exclusivamente para fines educativos e informativos y deberá citar la fuente donde la obtuvo mencionando el autor o autores. Cualquier uso distinto como el lucro, reproducción, edición o modificación, será perseguido y sancionado por el respectivo titular de los Derechos de Autor.

**UNIVERSIDAD MOTOLINIA**  
**UNIVERSIDAD NACIONAL AUTONOMA DE MEXICO**

**SINTESIS DE LA 1 $\beta$  METIL  
11 $\beta$  HIDROXI 19 NOR  
RETRO TESTOSTERONA**

**TESIS**  
Que para obtener el Título de  
**QUIMICO FARMACEUTICO BIOLOGO**  
presenta

**MARIA DEL CARMEN AGUILERA ESPINOZA**

MEXICO D. F.  
1984

ESTE TRABAJO SE LLEVO A CABO EN LA  
DIVISION DE INVESTIGACION DE LOS  
"LABORATORIOS SYNTEX".  
BAJO LA DIRECCION DEL DOCTOR.  
PIERRE CRABBE  
A QUIEN AGRADEZCO PROFUNDAMENTE  
SU GRAN AYUDA

**A MIS PADRES Y HERMANOS**

## **C O N T E N I D O**

**I.- INTRODUCCION**

**II.- ANTECEDENTES**

**III.- DISCUSION**

**IV.- PARTE EXPERIMENTAL**

**V.- CONCLUSIONES**

**VI.- BIBLIOGRAFIA**

**CAPITULO I**  
**INTRODUCCION**

## INTRODUCCION

En el presente trabajo se describe la síntesis química jamás antes lograda de un retro (9 $\beta$ H-10 $\alpha$ H)-nor-19-esteroide - que presenta una estereoquímica enantiomera en las posiciones -- C-9 y C-10, a partir de un esteroide de configuración normal --- (9 $\alpha$ H-10 $\beta$ -CH<sub>3</sub>).

Los retro-esteroideos (9 $\beta$ H, 10 $\alpha$ -CH<sub>3</sub>) sólo se habían podido obtener hasta el presente por vía fotoquímica, la cual presenta varias desventajas, entre ellas; 1) que estos procedimientos son muy costosos, por la necesidad de trabajar en recipientes de vidrio de cuarzo y, 2) este tipo de reacción no se puede aplicar en gran escala, pues el uso de cantidades mayores de 10g disminuye mucho el rendimiento por la formación de numerosos productos secundarios. Por las desventajas de esta técnica, se comprenderá la importancia que envuelve la síntesis química de los retro-nor-esteroideos.

Actualmente, en todos los centros de investigación -- sobre Química Terapéutica, gran parte del trabajo que en ellos -- se realiza, está orientado hacia la obtención de nuevos derivados esteroideos con mayor actividad biológica que los ya conocidos.

El interés en el campo de investigación de las ---- hormonas esteroideas ha aumentado extraordinariamente, debido a

que las contribuciones hechas a la terapéutica hormonal desde -- hace una década a la fecha, han sido verdaderamente espectaculares.

Así, se ha investigado estrechamente en numerosas -- hormonas esteroideas los requerimientos estructurales para la actividad fisiológica, efectuándose numerosos cambios en sus moléculas, principalmente en las posiciones 3, 6, 9, 11, 16, 17 y 21, donde se han introducido diferentes grupos funcionales como por ejemplo: halógenos, metilos, etilos, etc.

Se han hecho hidrataciones de las dobles ligaduras, - oxidaciones y reducciones en diferentes grupos, introducciones - de dobles enlaces, aromatizaciones selectivas y también hidrogenaciones.

Durante muchos años fueron de gran interés, los grupos metilo angulares en las hormonas esteroideas no-aromáticas como la progesterona y testosterona, pues no se sabía si la actividad fisiológica de las hormonas esteroideas dependía de las estructuras y configuraciones químicas específicas, y las simplificaciones en la estructura de las hormonas naturales estaba relacionada con la pérdida apreciable de la actividad biológica.

Así, desde 1936 Dirscherl<sup>(1-2)</sup> reportó la reducción - de la estrona a un derivado octahidro (anillo A completamente reducido y un oxhidrilo en la posición 17) compuesto que es androgeno

co y que debe considerarse como el primer compuesto nor-19 sintético con esta actividad. De esta manera las hidrogenaciones de los productos de la estrona, demostraron que los compuestos sin el grupo metilo entre los anillos A y B, o sea el grupo metilo insertado en el carbono 10, poseen actividad androgénica, y esta observación sugirió por lo tanto que el metilo en la posición 10 del núcleo esteroide no es esencial para la actividad fisiológica esteroide.

Desde este gran descubrimiento, se han logrado obtener numerosas hormonas nor-19 esteroideas, las cuales presentan una actividad fisiológica superior a las hormonas con el metilo en la posición 10 del núcleo esteroide.

Djerassi y col.<sup>(3)</sup> obtuvieron por primera vez la nor-19-progesterona, compuesto que presenta una actividad progestacional siete veces mayor que la progesterona, a pesar de que ésta es sumamente específica y sólo unos pocos de los compuestos que se han ensayado, tienen una actividad progestacional comparable a la de la progesterona misma.

Otro ejemplo lo tenemos en la etinil-17 $\alpha$ -nor-19-testosterona, la cual posee una actividad cinco veces mayor que la etinil-17 $\alpha$ -testosterona. La nor-19-testosterona presenta ~~on~~ cambio sólo una tercera parte de la actividad androgénica de la testosterona, pero es un útil intermediario para otros productos.

El metilo en la posición 18, parece ser esencial para-

la alta actividad de las hormonas esteroideas, al menos con las hormonas estrogénicas: equilenina y estrona, pero este efecto -- puede ser debido solamente al hecho de que el metilo en la posición 18<sup>(4)</sup> impide que los anillos C y D con una unión trans --- (natural), asuman la configuración más estable cis. Este grupo-metilo, puede ser reemplazado por etilo o n-propilo sin gran disminución en la actividad de las hormonas esteroideas.

La preparación de hormonas esteroideas con cambios en la configuración de los centros de simetría, hasta el presente ha recibido relativamente poca atención.

Este interesante problema es precisamente el tema de trabajo de esta tesis, en el cual la configuración normal 9 $\alpha$ -10 $\beta$  ha sido invertida en un esteroide nor-19 de la serie del androstano para obtener un retro-compuesto (configuración anormal 9 $\beta$ H-10 $\alpha$ H).

Butenandt<sup>(5,6)</sup> y años más tarde Bots<sup>(7)</sup> siguiendo la técnica del primero, prepararon por vía fotoquímica compuestos con la configuración anormal 13 $\alpha$ , esteroideos que no mostraron actividad androgénica o anabólica. Windaus<sup>(8)</sup> encontró que el ergosterol por irradiación con luz ultra-violeta producía un compuesto que presentaba más de 100 veces la actividad antirraquítica del colesterol irradiado.

Más tarde Jones y col.<sup>(9)</sup> demostraron que el lumisterol presenta la configuración anormal 9 $\beta$ H-10 $\alpha$ :CH<sub>3</sub>.

Desde entonces, numerosos investigadores han sintetizado varios retro-compuestos por vía fotoquímica y a partir del lumis-terol, con objeto de investigar sus propiedades fisiológicas.

Los retro-esteroideos sintetizados, fueron sometidos a pruebas biológicas tanto orales como subcutáneas, y se encontró que la transformación de la configuración normal en la configuración anormal (9 $\beta$ -10 $\alpha$ ) tiene un marcado efecto sobre las propiedades fisiológicas de los compuestos, en comparación con aquellos de los análogos en la serie normal (9 $\alpha$ -10 $\beta$ ).

Este es el motivo por el que actualmente se busca con afán la manera de preparar retro-esteroideos, los cuales aumentan grandemente la potencia de las propiedades fisiológicas de las hormonas esteroides.

De esta manera, en el presente trabajo, para llegar a un producto con una configuración enantiomera en C-9 y C-10 de esteroideos normales, se escogió como compuesto de partida el acetato de prednisona, el cual proporcionó un rearrreglo dionona-fenólico<sup>(10,11)</sup> que nos condujo a un acetato de enol aromático, y que por hidrólisis de los grupos ésteres con el metóxido de sodio, dió principalmente el derivado fenólico, compuesto (III) el cual presenta la configuración 9 $\beta$ H.

Esto se dedujo principalmente de la comparación de las propiedades físicas y espectrales de los compuestos IIIe y IIIa.

La metilación del fenol (III), seguida de acetilación del-

hidroxilo primario en C-21, proporciona el metoxi-3-acetoxy-21-hidroxi-17 $\alpha$ -metil-1-diceto-11,20-(9 $\beta$ H)-pregnatrieno-1,3,5(10) = (V).

La configuración eis, característica de la unión de los anillos B y C en ese compuesto (V), es fijada por reducción con díborano<sup>(12)</sup> obteniéndose el diol-11,20 correspondiente (VI).

La cadena lateral es entonces degradada por el metaperiodato de sodio. Esto conduce al metil-1-metoxi-3-hidroxi-11 $\beta$ -ceto-17-estratrieno-1,3,5(10) (VII).

La reducción de Birch<sup>(13)</sup> de ese compuesto (VII) seguida de una hidrólisis ácida proporciona el metil-1 $\beta$ -diidroxi-11 $\beta$ ,17 $\beta$ -nor-19-ceto-3-(9 $\beta$ H-10 $\beta$ H)-androsteno-4, (VIII).

Este compuesto presenta una configuración enantiómera en C-9 y C-10 a la nor-19-testosterona (XI).

En esta síntesis del metil-1 $\beta$ -diidroxi-11 $\beta$ ,17 $\beta$ -nor-19-retrotestosterona se han obtenido varios productos secundarios, los cuales serán disentidos y detallados más adelante.

Las propiedades espectrales, en particular la dispersión rotatoria, la resonancia magnética nuclear y ocasionalmente el dicroísmo circular de los compuestos sintetizados, así como de sus intermediarios, confirmaron la estructura y la configuración asignadas a estas substancias.

## **CAPITULO II**

### **ANTECEDENTES**

## ANTECEDENTES

Varios investigadores estudiando la influencia de los cambios estereoquímicos sobre las propiedades fisiológicas, han preparado una serie de hormonas esteroideas, con configuraciones anormales <sup>9,10</sup>; encontrando que este cambio tiene una marcada influencia sobre las propiedades antes citadas.

De esta manera Butenandt <sup>[5]</sup> preparó por vía fotoquímica la lumiestrona y la lumiandrosterona, compuestos con una configuración anormal en C<sub>13</sub> (13 $\alpha$ ) y, años más tarde, Bots <sup>[7]</sup> siguiendo la técnica de Butenandt, preparó también esteroides 13 $\alpha$  compuestos que no mostraron actividad androgénica o anabólica.

Los trabajos de Windaus <sup>[8]</sup> abrieron un amplio camino en la investigación de hormonas con mayor actividad fisiológica que las ya conocidas. Windaus aclaró las estructuras del ergosterol y de los productos resultantes de la irradiación de éste, encontrándose con la novedad de que uno de los productos resultantes de la irradiación con luz ultra-violeta del ergosterol, el lumisterol, presenta una configuración invertida en comparación con los esteroides normales, en los centros de asimetría C-9 y C-10, presentando una configuración anormal 9 $\beta$ H-10 $\alpha$ CH<sub>3</sub> compuesto que tiene más de cien veces la actividad antirraquitica del colesterol irradiado.

(9)

En 1959, Jones y col. demostraron que el lumisterol tiene la configuración anormal 9 $\beta$ H-10 $\alpha$ -CH<sub>3</sub>, lo cual fue confirmado por los datos de rotación y por los datos de la degradación de los cuatro estereoísmeros en las posiciones C-9 y C-10, los cuales son: el 9 $\beta$ H-10 $\alpha$ -CH<sub>3</sub> de la serie del lumisterol, el --9 $\alpha$ H-10 $\alpha$ CH<sub>3</sub> de la serie del pirocalciferol, el 9 $\beta$ H-10 $\beta$ CH<sub>3</sub> de la --serie del isopirocalciferol y por último, el 9 $\alpha$ H-10 $\beta$ CH<sub>3</sub> de la série del ergosterol.

Los siguientes investigadores prepararon una serie de análogos de hormonas esteroideas por degradación del lumisterol con la configuración 9 $\beta$ H-10 $\alpha$ CH<sub>3</sub>.

Beerink<sup>(14)</sup> y Westerhof<sup>(15)</sup> sintetizaron a partir del lumisterol, un gran número de estructuras representativas de la serie de los retroesteroideos (9 $\beta$ -10 $\alpha$ ), e investigaron sus propiedades fisiológicas. Entre ellas prepararon la 9 $\beta$ H-10 $\alpha$ CH<sub>3</sub>--progesterona y la 9 $\beta$ H-10 $\alpha$ CH<sub>3</sub>-pregnen-4-diona-3,20 (preparada --usando la ruta empleada por Shepherd y col.<sup>(16)</sup> para la síntesis de la progesterona a partir del ergosterol). Estos autores holandeses encontraron que sus compuestos sintéticos poseen la configuración 9 $\beta$ H-10 $\alpha$ CH<sub>3</sub>, al igual que la configuración del lumisterol. Estos compuestos sintetizados por Westerhof presentan --una marcada actividad progestacional cuando son administrados --oralmente, los cuales tienen una potencia aproximadamente de cinco veces mayor que la de la progesterona.

El derivado  $\gamma^6$ -dehydro de la retro-progesterona, prepa

do en la serie de los  $\Delta^{9}\text{H}-10\alpha\text{CH}_3$ -pregnanos, (el  $\Delta^{9}\text{H}-10\alpha\text{CH}_3$ - --- pregnadieno-4,6-diona-3,20) es aún más activo en este aspecto, los examenes en comparación con la progesterona demostraron que subcutáneamente es más activo que la progesterona misma y que por administración oral es altamente activo y no posee actividad androgénica.

Ehrenstein<sup>(17,18)</sup> vio en la estrofantidina un producto de partida para la preparación de derivados nor-19 de la progesterona y cortisona, este investigador, degradó la estrofantidina obteniendo finalmente, mediante una síntesis de 12 pasos, un compuesto con la configuración anormal en la posición 14 --- (14 $\beta$ ), la nor-19-progesterona-14 $\beta\text{H}$ , compuesto que es 8 veces más activo que la progesterona.

Un hecho interesante es la inactividad de los derivados correspondientes de la serie de la testosterona.

Schöler<sup>(19)</sup> examinó las propiedades biológicas de los cuatro retro-compuestos siguientes; 1,-retro-progesterona, 2,- -dehidro-6-retroprogesterona, 3,- acetoxi-17 $\alpha$ -retro-progesterona- y 4,- dehidro-6-acetoxi-17 $\alpha$ -retro-progesterona, encontrando que los cuatro retro-compuestos fueron oralmente activos.

Los examenes efectuados a estos cuatro retro-compuestos se hicieron en comparación con la progesterona y mostraron que estos esteroides, todavía muestran un efecto progestativo a pesar de los grandes cambios efectuados en su estructura esteroide-

química, y que todos los retro-progestativos dieron el mismo espectro progestacional por vía subcutánea. Los datos obtenidos muestran que la relación entre la estructura y la actividad fisiológica, es diferente para los retro-esteroideos y para los esteroideos normales.

Que la introducción de una doble ligadura en la posición 6 de la retro-progesterona, aumenta el efecto progestacional alrededor de cinco veces por vía subcutánea, y por administración oral el dehidro-6-compuesto, es cuarenta veces más activo que la retro-progesterona. Sin embargo, la introducción de ese mismo doble enlace en la posición 6 de la progesterona, disminuye una tercera parte el efecto progestacional por inyección subcutánea.

Que la introducción de un grupo acetoxi- $^{17\alpha}$  en la retro-progesterona, aumenta el efecto progestacional como en los esteroides normales y que la introducción de un dehidro-6 y un ---acetoxi- $^{17\alpha}$ , como resultado el compuesto más activo de estas series. Los retro-progestativos no muestran efectos androgénicos, estrogénicos o corticoides.

K. G. Tellingen y Diezvalenz<sup>(20)</sup> estudiaron las propiedades farmacológicas de la 6-dehidro-retro-progesterona (dihydro-gesterona), confirmado lo anteriormente encontrado por Schöler.

Todos estos datos, nos llevaron a la conclusión de que la transformación de una hormona esteroidea normal, en una hormona esteroidea anormal, con un cambio estereoquímico en los átomos-

de carbono 9 y 10 tienen una interesante y provechosa influencia sobre las propiedades fisiológicas de las hormonas esteroideas en comparación con aquellas de los análogos en la serie normal 9<sub>a</sub>-10<sub>b</sub>.

## **CAPITULO III**

### **DISCUSSION**

## D I S C U S I O N

La preparación de hormonas esteroideas con cambios de configuración en los centros de asimetría, hasta el presente ha recibido relativamente poca atención.

En el presente trabajo se describe la síntesis química de un retro-(9 $\beta$ H-10 $\beta$ H)-nor-19-esteroide, de la serie del androstano a partir de un esteroide de configuración normal (9 $\alpha$ H, --- 10 $\beta$ CH<sub>3</sub>).

Especificamente se preparó el metil-1 $\beta$ -hidroxi-11 $\beta$ -nor-19-retro-testosterona, a partir del acetato de prednisona.

El compuesto sintetizado presenta una configuración anormal en los átomos de carbono 9 y 10, exactamente al inverso de la serie normal, la cual presenta una estereoquímica 9 $\alpha$ -10 $\beta$ . El enlace de los anillos B y C (8,11H-9,10H) de los esteroides normales se encuentra por lo tanto con una configuración trans, en contraste ademas los grupos metilo 18 y 19 sobre los átomos de carbon 10 y 13 respectivamente, en la misma disposición espacial β.

Mientras que en esta nueva serie de retro-esteroides, el enlace de los anillos B y C (8,11H-9,10H), se transforma en una --- unión cis y la configuración del 10 $\beta$ H se encuentra en una configuración opuesta al grupo del metilo-13 $\beta$ .

El principio de esta síntesis como se indicó antes, fue a partir de un esteroide normal, en este caso el acetato de prednisona una hormona-esteroide-corticoide, que tiene un grupo  $\Delta^{1,4}$ -3-cetónico, necesario para proporcionar un rearrreglo dienona-fenol.

La naturaleza del rearrreglo dienona-fenol está ahora bien entendida y la influencia de un número de rasgos estructurales ha sido elucidada, sin embargo, esta reacción es un imprecedente en Química orgánica, ya que existe la pregunta sin solución de cómo puede un anillo en una molécula polifelica ser selectivamente aromatizado?, además por otro lado existe el hecho de que la aromatización selectiva se efectúa en una molécula donde la aromatización está de hecho bloqueada por la existencia de un átomo cuaternario de carbono.

Una de las dificultades relacionadas con la síntesis de hormonas esteroideas es la naturaleza cuaternaria de los átomos de carbono que llevan los grupos metilo angulares. Precisamente esta dificultad ha contribuido a impedir la síntesis de hormonas no aromáticas con estos dos grupos metilos en las posiciones 10 y 13. Y no hay método conocido para introducir el metilo 19 en las hormonas aromáticas (tal como la estrona), para producir compuestos convertibles en hormonas no aromáticas como la testosterona.

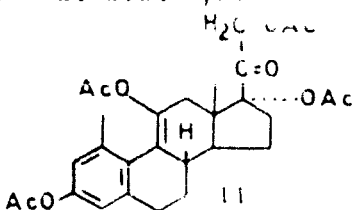
El curso del rearrreglo dienona-fenol de dienonas<sup>(10,11)</sup> puede proceder en diferentes direcciones, dependiendo preferen-

temente del medio ácido, una explicación satisfactoria todavía no ha sido ofrecida, pues se dice que la solvatación juega un importante papel en este tipo de reacción.

Pero en general hay 2 tipos de productos resultantes del rearreglo de esteroides-dienona-fenol, el tipo meta (1-3) y el tipo para (1-4) del anillo A.

En el presente trabajo se ha efectuado una aromatización y acetilación de enol del grupo 11-acetónico, con el acetato de prednisona ( $\gamma^{1,4}$ -3,11-dicetona), lográndose un rearreglo tipo meta: el metil-1-acetoxi-3, el cual fue obtenido de un tratamiento de  $\text{Ac}_2\text{O}$  y  $\text{HClO}_4$  como catalizador durante 6 horas a temperatura ambiente, el cual nos dió un producto aceitoso, que por cromatografía proporcionó un producto puro, también aceitoso que cristalizó de acetona-hexano. El examen del espectro U.V. proporcionó un máximo a 242 m $\mu$ , comprobándose así que la aromatización se había efectuado, pues el máximo característico para un  $\gamma^{1,4}$ -3-cetona es a 238 m $\mu$ .

El examen del espectro I.R. sugirió que la acetilación del enol del grupo 11-aceto se había efectuado y por último fue comprobada la obtención del producto aromático de enol-acetilado, por el análisis del  $\text{C}_8\text{H}_{10}\text{O}_4$ , el cual fue idéntico al análisis teórico calculado para el compuesto:

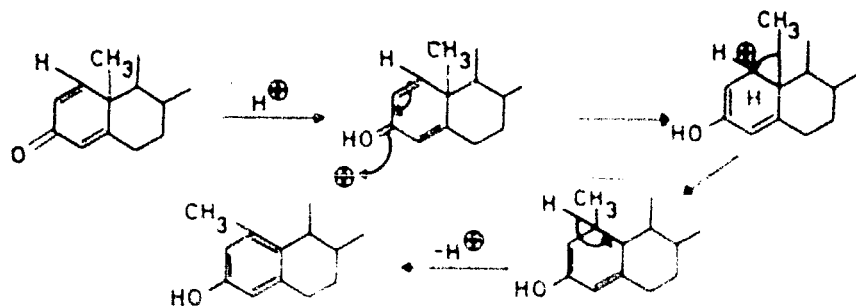


Tetra-acetoxy-3,11,17,21-methyl-1-nor-19-pregnatetraen-1,3,5(10),9(11)-ona-20.

Se variaron las condiciones de reacción con el tiempo -- empleado para efectuarse, encontrándose que lo mejor fue de 5-6 horas pues con un tiempo de 24-48 horas se obtuvo menor rendimiento.

Este compuesto presenta una unión cis de los anillos B - y C, teniendo el anillo B la conformación de medio bote y la unión de los anillos C y D es normal, presentando este compuesto (II) la siguiente conformación:

- A) plano
- B) medio bote
- C) media silla
- D) media silla

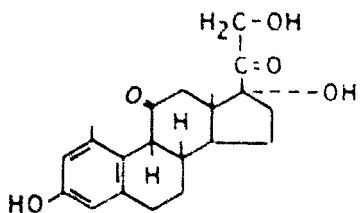


El oxígeno se protege para dar un oxiono estable de modo que se cancela la carga por el paso de un par de electrones de la doble covalencia a la zona del oxígeno y simultáneamente migra un par en conjugación con el anterior haciendo resaltar la carga en C-1. Así ocurre el rearrreglo cuando el metilo con su par pasa a C-1 y el par que estaba posiblemente en hidrógeno completa el sistema apuntando al oxígeno dependiente de protón.

Es bien conocida la inestabilidad de la forma enólica y su transformación en la forma cetonía. Así que el acetato-de enol (II), se trató con solución metanólica de metóxido de sodio 2,4N obteniéndose de esta manera la hidrólisis del éster de enol, (de la 11-cetona) y la hidrólisis del 3,17 y 21-aceta-to del compuesto (II).

El producto obtenido (III), es el siguiente:

Trihidroxi-3 $\beta$ ,17 $\beta$ ,21 $\beta$ -metil-11 $\alpha$ -nor-19 $\alpha$ (9 $\beta$ H)-pregnatrien-1,3,5(10)-diona-11,20.

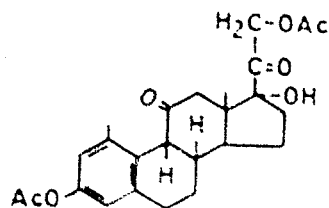


III

Este producto fue identificado principalmente por el examen del espectro U.V., por un máximo 278 m $\mu$ . (pues el máximo del acetato de enol es de 242 m $\mu$ ); por medio de una cromatografía en placa, e igualmente por una reacción de cloruro férreo, la cual fue positiva.

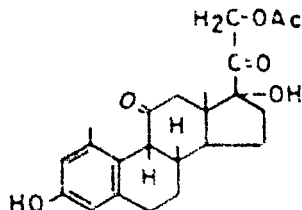
Este producto (III) no pudo ser aislado, pero por subsiguiente acetalización del 3-OH y 21-OH se pudo obtener puro este compuesto. Bajo las mismas condiciones de reacción, efectuada la acetalización del compuesto con anhídrido acético y piridina, (III) se obtuvo una mezcla de tres compuestos (IIIa, IIIb y IIIc):

Diacetoxi-3,21-hidroxi-17 $\alpha$ -metil-1-nor-19-(9 $\beta$ H)-pregnatrien-1,3,5(10)-diona-11,20.



IIIa

Y el acetoxi-21-dihidroxy-3,17 $\alpha$ -metil-1-nor-19-(9 $\beta$ H)-pregnatrien-1,3,5(10)-diona-11,20.

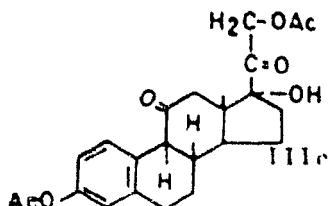


IIIb

Compuestos ambos que fueron perfectamente identificados por resonancia magnética nuclear, espectros de infra-rojo, dispersión rotatoria, rotación y análisis de conformación.

El tercer producto obtenido (IIIc), el cual es un epímero del compuesto IIIa, presenta una configuración normal, y fue identificado como el:

Diacetoxi-3,21-hidroxi-17 $\alpha$ -metil-1-nor-19-(9 $\beta$ H)-pregnatrien-1,3,5(10)-diona-11,20.



En este compuesto (IIIc) muestra que no hubo inversión de la configuración en C-9, obteniéndose por lo tanto el 9aH, -- en el cual hubo aromatización pero no acetilación de enol, y -- por lo tanto el hidroxilo--no fue afectado, pero la acetilación si se efectuó en el 21-OH y el 3-OH, obteniéndose acetilación -- de esta manera en las posiciones 3 y 21.

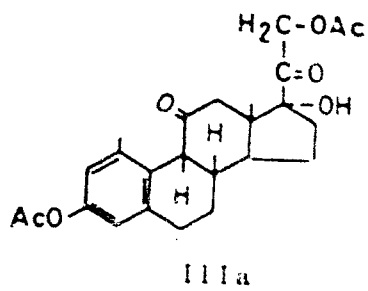
En este compuesto el enlace entre los anillos A y B es cis, y la unión de los anillos C y D es trans, presentando la -- siguiente configuración:

- A) plano
- B) media silla
- C) silla
- D) media silla

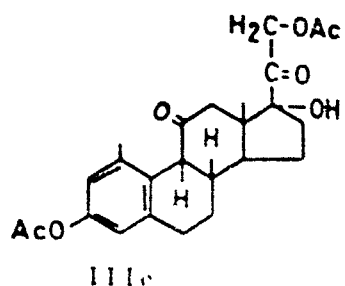
El grupo 11 en este compuesto (IIIc) presenta un gran -- impedimento estérico del lado 5 de la molécula, debido a la orientación también de los dos grupos metilos angulares, especialmente hay una fuerte interacción entre el grupo 1-Me y el -- grupo 11-ceto, lo cual se comprueba mediante el análisis de resonancia magnética nuclear.

Como se ha dicho, este compuesto (IIIc) es un epímero -- del compuesto IIIa en el cual si se efectuó la acetilación ----

de enol e inversión del hidrógeno en C-9 y mediante la comparación de las propiedades físicas y espectrales de ambos, se comprueba una vez más la configuración 9 $\beta$ H para esta serie de compuestos.



IIIa

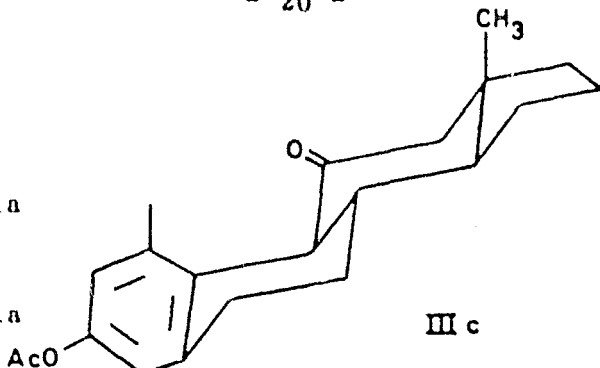


IIIc

La resonancia magnética nuclear, la dispersión rotatoria y el dicroísmo circular han permitido el estudio detallado de la conформación del compuesto (IIIa), en el cual ha habido inversión de la configuración del hidrógeno en C-9. Esta inversión de IIIc a IIIa (9 $\alpha$ H a 9 $\beta$ H) crea una violenta interacción -estérica entre el grupo metilo en C-1 y el carbonilo en C-11, de tal modo que el anillo C del compuesto IIIa, adopta entonces la conформación de bote, a fin de disminuir esta interacción.

En el compuesto IIIc, se tiene un enlace (8 $\beta$ H-9 $\beta$ H) de los anillos B y C trans, y el compuesto presenta la siguiente conформación:

- A) plano
- B) media silla
- C) silla
- D) media silla

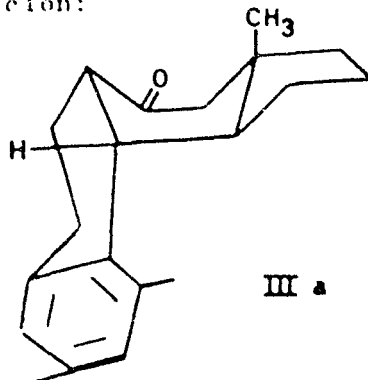


III c

Compuesto donde la 11-cetona presenta un fuerte impedimento estérico del lado B de la molécula, habiendo una fuerte interacción entre el grupo 11-ceto y el grupo 1-metilo.

En el epímero (IIIa) la unión de los anillos B y C (8S-9S) se transforma en un enlace cis. Y el compuesto presenta la siguiente conformación:

- A) plano
- B) media silla
- C) bote
- D) media silla



III a

En este compuesto no hay interacción entre el grupo 11-ceto y el grupo 1-metilo.

La diferencia entre el metilo-1 y el metilo-18 viene del cambio de conformación del anillo C.

Los datos para el compuesto (IIIa) de la RMN y la DR son los siguientes:

1) RMN      C<sub>18</sub>-H      : 59 cps.

                C<sub>1</sub>-H      : 123 cps.

2) DR [φ] 312,5 + 18,387°

Los datos espectrales para este producto (IIIc),

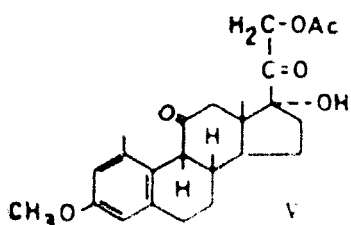
1) RMN      C<sub>18</sub>-H      : 40,6 cps.

                C<sub>1</sub>-H (CH<sub>3</sub>) : 118 cps.

2) DR [φ] 311 μ + 15,116°

La epimerización de IIIc a IIIa está acompañada de un débil aumento del efecto Cotton positivo.

El siguiente paso de esta síntesis: la metilación del 3-fenol, la cual fue efectuada con dimetil-sulfato para el producto (III) seguida de acetilación del hidróxido primario en C-21 con anhidrido acético y piridina, nos proporcionó el: Metoxi-3-acetoxi-21-hidroxi-17 $\alpha$ -metil-1-nor-19-(9 $\beta$ )-pregnatrien-1,3,5(10)-diona-11,20, (V)



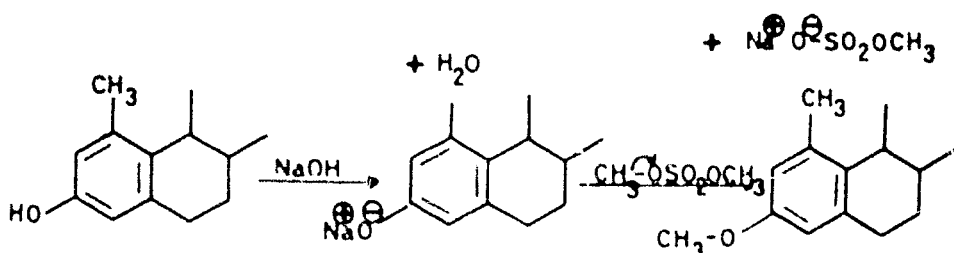
Esta metilación en C-3 del fenol (III) fue el paso más

difícil de esta síntesis, pues por causas desconocidas ocurrieron diferentes reacciones secundarias, pues en unos casos no se obtuvo metilación y en otros se obtuvieron probablemente D-homourareglos, y de esta manera el producto solamente se pudo obtener con muy bajo rendimiento (19%).

Este producto presenta la característica unión cis de esta serie de los anillos B y C y la siguiente conformación:

- A) plano
- B) silla
- C) silla
- D) media silla

El mecanismo para esta reacción: (21)

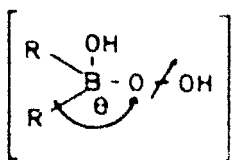


El oxhidrilo fenólico reacciona inicialmente para formar la sal, cuyo anión ataca el sulfato de dimetilo, antes indicado, para formar el éter. El anión efectúa una sustitución nucleofílica molecular.

Con una reacción de reducción con diborano<sup>(22)</sup>, se fija la unión cis de los anillos B y C por reducción del grupo 11-

cetónico.

La hidroboración de Brown (23 - 29) es una reacción de hidroxilación altamente estereoespecífica y que no sólo ocurre en configuración cis, sino que toma lugar del lado estéricamente menos impedido de la doble ligadura. La subsiguiente oxidación e hidrólisis del alcohol libre, se supone que procede con retención de la configuración, posiblemente por un ataque del anión del peróxido al átomo de boro, para dar el ion Zwitter. Este ion sufre un desplazamiento 1-2 en el cual el ion alquilo migra al átomo de oxígeno, con una eliminación simultánea del ion hidróxido.



Esta reacción reducadora de hidroboración es una poderosísima síntesis a disposición de la Química Orgánica, la cual es ampliamente aplicable a una gran variedad de estructuras olefinicas, empezando desde los simples alquenos y terpenos bicéticos, hasta las complejas moléculas de los esteroides, reduciendo generalmente grupos como aldehídos, cetonas, Ácidos carboxílicos, etc. La reacción es lenta, pero catalizada notablemente por los éteres solventes.

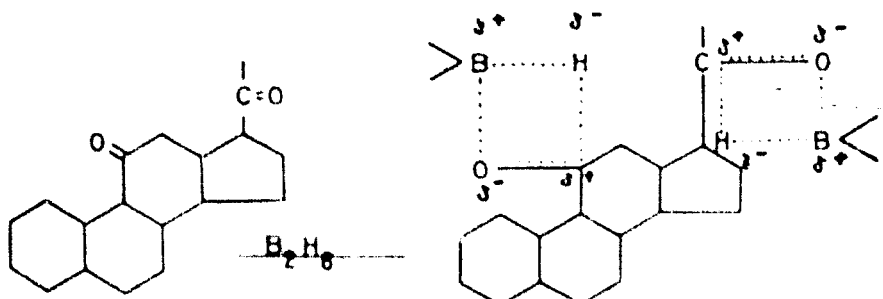
La reacción general del borohidruro de sodio con el éter solvente el trifluoruro de boro proporciona una simple y cuantitativa síntesis de dióxido:



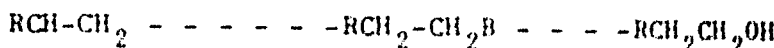
Los solventes habituales usados en esta reacción son el tetrahidrofurano, díptima y éter etílico anhidros, etc.

El díborano es un poderoso agente reductor de tipo ácido que rápidamente reacciona con las olefinas para convertirlas en los correspondientes organoboranos. Se cree que esta reacción funciona a través de un ataque a un centro rico en electrones, — pues como es un ácido fuerte de Lewis, se espera que envuelva un ataque preferentemente electrofílico en los centros ricos en electrones.

El efecto directivo de la reacción de hidroboración (24) procede a instalar el átomo de boro predominantemente en el más-substituido de los 2 átomos de carbono del doble enlace, y el organoborano es rápidamente convertido en el correspondiente alcohol por oxidación con peróxido de hidrógeno alcalino (27).

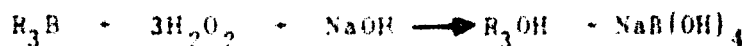


De ésto se deduce que la hidroboración seguida de oxidación, --- proporciona un procedimiento muy valioso para la hidratación --- antimarkownikoff de las olefinas. (La regla de Markownikoff --- sostiene que el H<sub>2</sub> se une al carbono que contenga mayor número--- de átomos de H<sub>2</sub>).



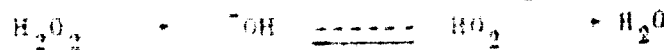
Estas reacciones son simples y cuantitativas a T.A., y --- hacen que los organoboranos sean fácilmente aprovechables como--- intermediarios para la síntesis química, lo cual estimula un --- nuevo interés en la química de estos compuestos.

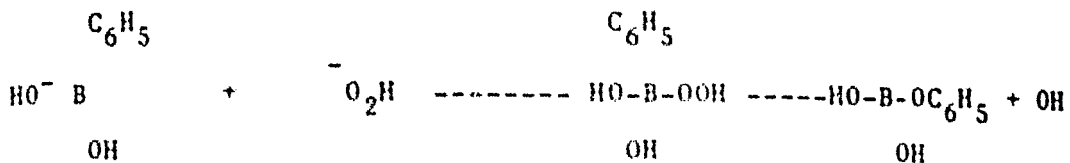
La oxidación simple de los organoboranos con peróxido de hidrógeno alcalino procede como sigue:



Esta reacción usa los solventes usuales de la hidroboración y procede sin rearrreglo ocupando un grupo OH precisamente--- la posición antes ocupada por el átomo de boro en el organoborano.

Un detallado estudio sintético de esta reacción no ha sido aún reportado, sin embargo, Kalyan y col. (27) han examinado detrechamente la reacción de ácido benzenoboránico y agua oxigenada y ellos proponen el siguiente mecanismo:





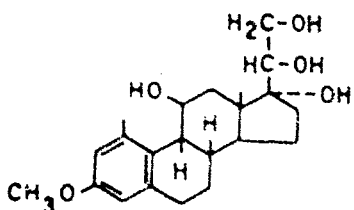
La oxidación con peróxido de hidrógeno procede con retención de la configuración. Consecuentemente, la hidroboración debe envolver una cis adición del enlace H-B al doble enlace de la olefina cíclica.

Mediante la reducción del compuesto (V) por una reacción con dihlorano, se ha logrado fijar la posición cis de los anillos B y C, unión característica en esta serie de esteroideos, evitándose en esta forma una posible inversión de la forma cetónica - debido a su inestabilidad, a la aún menos inestable forma enólica de la 11-cetona. Previéndose así la inversión del 9aH en 9aH.

En el tratamiento de reducción con dihlorano se han producido varias reacciones secundarias, pues el rendimiento es muy bajo. Estas reacciones secundarias, así como sus productos resultantes no han podido ser aclaradas o identificadas, sin embargo existe la certeza de que pueden obtenerse los cuatro epímeros siguientes:

9aH	11aOH

De esta reacción de reducción de Brown del compuesto (V) se obtuvo el compuesto (VI) el cual no fue identificado completamente sino hasta después de la degradación de la cadena lateral. El metoxi-3-tetrahidroxi-11 $\beta$ ,17 $\beta$ ,20 $\beta$ ,21 $\beta$ -metil-1-nor-19-(9 $\beta$ H)-pregnatrien-1,3,5(10)-diona-11,20.



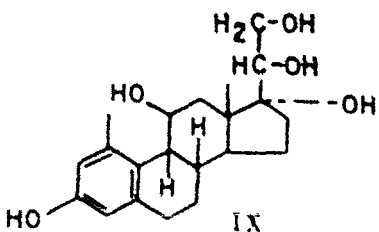
VI

Presenta la característica unión B y C cis y una configuración 9 $\beta$ H, con la siguiente conformación de su molécula:

- A) plano
- B) silla
- C) silla
- D) media silla

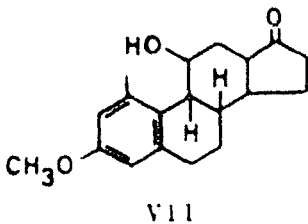
Bajo las mismas condiciones de reacción de hidroboración de Brown, se ha obtenido un segundo producto (IX), en el cual -- por no haberse verificado la reacción de metilación del 3-OH por medio de la reducción se obtuvo un pentol, producto que también fue obtenido a partir del mismo tratamiento de B<sub>2</sub>H<sub>6</sub>, pero a partir del producto (III).

Este compuesto fue cristalizado e identificado como el - Pentahidroxi-3 $\beta$ ,11 $\beta$ ,17 $\beta$ ,20 $\beta$ ,21 $\beta$ -metil-1-nor-19-(9 $\beta$ H)-pregnatrieno-1,3,5(10).



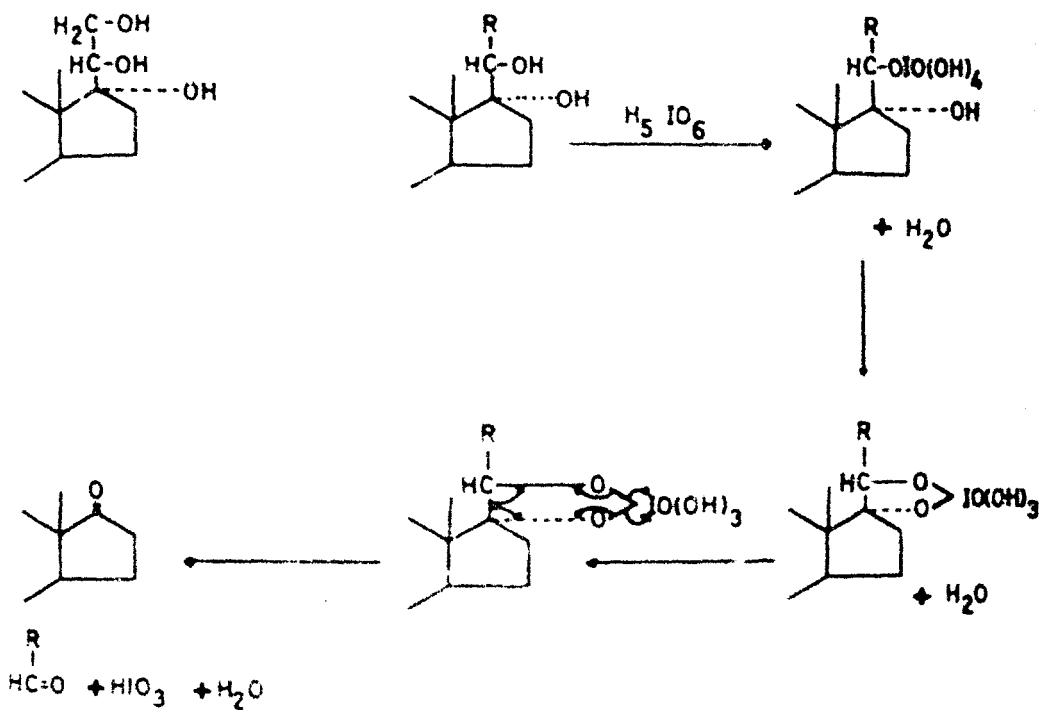
La degradación de la cadena lateral del producto (V) con peryodato de sodio, seguida de metilación del 3-fenol con yoduro de metile, para el producto (X) nos ha conducido a un producto de la serie de la estrona (VII).

Metoxi-3-hidroxi-11β-metil-1-(9βH)-estratrieno-1,3,5(10)-ona-17.



Fue comprobada la degradación de la cadena lateral principalmente por el examen de las bandas del espectro I.R., el cual nos proporcionó a 5,76 μ la localización de la ciclopentanona. La estructura del compuesto (VII) fue comprobada del estudio de sus propiedades físicas y espetrales, así como del análisis del CH y O, el cual fue igual al análisis teóricamente calculado.

El mecanismo de la oxidación de la cadena lateral que ...  
fue efectuada por oxidación con peryodato de sodio procede de la  
manera siguiente:<sup>(30)</sup>



Primero hay formación del monoester con eliminación de una molécula de agua; a continuación se produce el diester con eliminación de una segunda molécula de agua; el diester se descompone en un birradical entre los átomos de carbono oxidados, los que se estabilizan por migraciones de electrones solitarios de acuerdo con las flechas y el resultado es la formación de la 17-cetona, éste compuesto carboxílico, el ácido iodico y agua.

Este producto (VII) fue reducido por medio de la síntesis de Birch con Li y NH<sub>3</sub> hasta la hormona esterooidal masculina: Metil-1 $\beta$ -hidroxi-11 $\beta$ -nor-19-(9 $\beta$ H-10 $\alpha$ H)-retro-testosterona.

La síntesis de reducción de Birch es de gran importancia, pues proporciona una ruta relativamente simple para los nor-19-análogos de las hormonas esteroideas, a partir de los fácilmente accesibles precursores aromáticos. Específicamente en este trabajo desde el sistema del 9 $\beta$ -estratriénico-1,3,5(10), hasta la serie de 9 $\alpha$ ,10 $\beta$ -nor-19-esteroideos, mediante la reducción de Birch.

En el método original de Birch,<sup>(30-36)</sup> se usó un metal alcalino, el amoníaco y un "ácido", el alcohol metílico o etílico o una sal como el cloruro de amonio. La función primaria del alcohol es la de un donador de protones pero también ayuda al proceso como un "buffer", previniendo de este modo la acumulación del NH<sub>2</sub><sup>+</sup> fuertemente básica, evitando de esta manera el rearrreglo catalizado básicamente del doble enlace en conjugación.

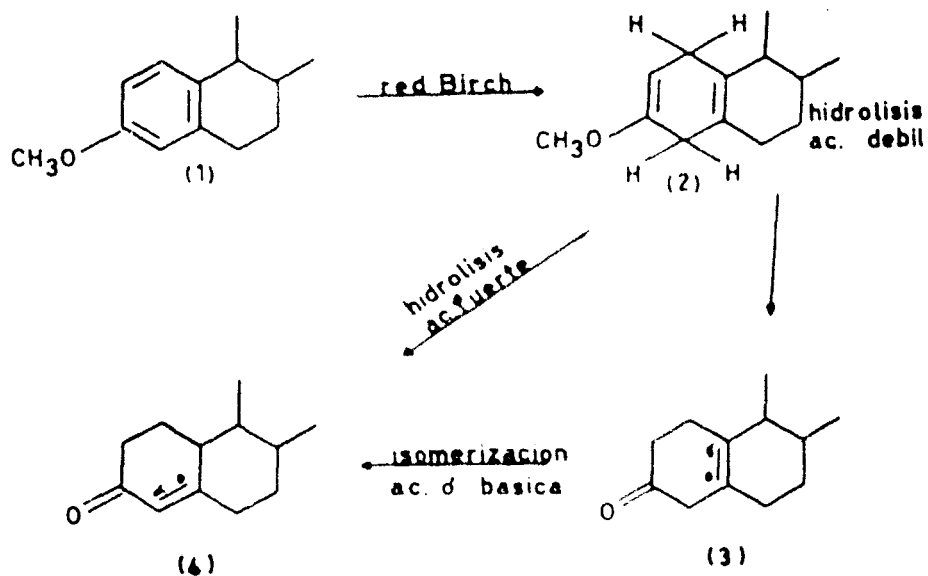
Cuando se verifica la reducción de compuestos que no son muy solubles en NH<sub>3</sub> líquido, se usa THF o éter. Esta dificultad de la baja solubilidad en el NH<sub>3</sub> de muchos compuestos orgánicos, principalmente los de peso molecular elevado, es precisamente la principal limitación del método de Birch. Pues si bien esta técnica proporciona buenos rendimientos, por la dificultad de solubilidad baja considerablemente el rendimiento y no hay reducción de todo el producto. Con objeto de encontrar cada vez las mejores condiciones de reacción, se han hecho hasta la fecha numerosas

importantes modificaciones al método de Birch desde su publicación, una de ellas ha sido el uso de Li en lugar de Na o K.

Otras variaciones han consistido en cambios en el orden de adición del esteroide del litio y del solvente, así como también en destilar el amoníaco antes de la reducción.

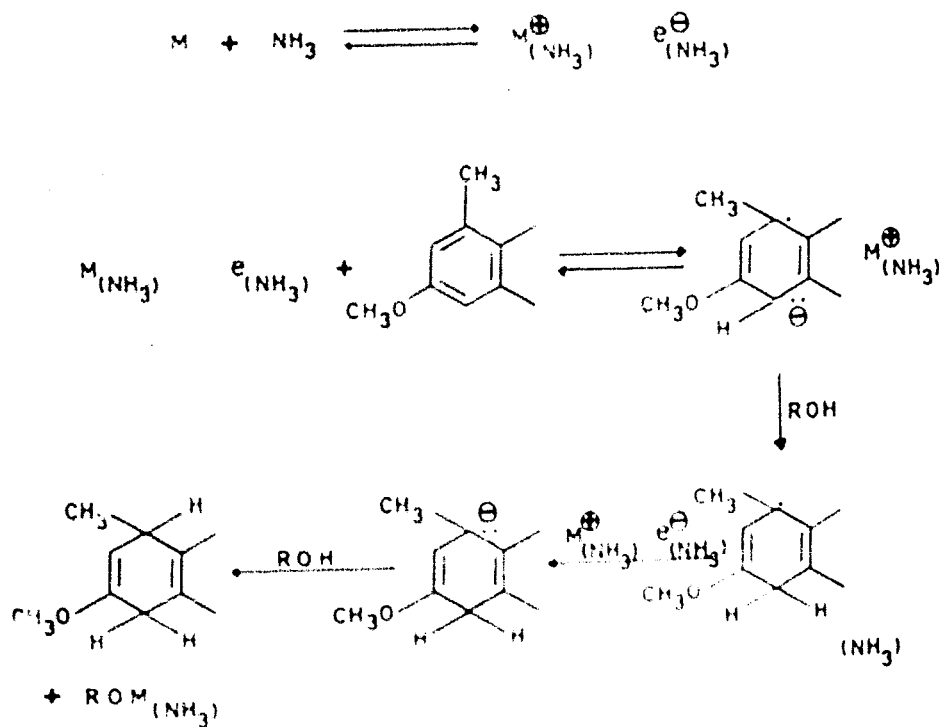
En la presente síntesis se ha usado Li, NH<sub>3</sub> y THF anhidro agregando el producto disuelto en el THF a el NH<sub>3</sub> líquido y después el litio.

La secuencia general de la reacción<sup>(35)</sup> puede ser representada como sigue:



En donde el éter fenólico (1) es reducido por medio del metal líquido NH<sub>3</sub>-alcohol reactivo a el derivado dehidro (2). Este compuesto, siendo un éter de enol, puede ser fácilmente hidrolizado ya sea por un ácido fuerte al producto conjugado, el 2- $\alpha$ -cetona insaturada (3), o por medio de un ácido suave al producto no conjugado el 2- $\beta$ -cetona insaturada (4). El que más tarde también puede convertirse en (3) por isomerización en presencia de un ácido o base fuerte.

El mecanismo de la reacción de Birch (36) demostrado aquí es el más aceptado, si establecido que la reducción de Birch de compuestos aromáticos puede ser representada a través de los siguientes pasos:



El metal disuelto en amoníaco y el correspondiente catión solvatado junto con el electrón permanecen en forma de unión par. Entonces el electrón es transferido al núcleo aromático, formando un radical anión el cual ahora toma el lugar antes ocupado por el electrón en el ion par con el catión solvatado.

El radical anión es protonado por el alcohol, ésto permite que la reducción sea irreversible.

Debe notarse que el amoníaco no puede proveer el protón necesario debido a su baja acidez ( $pK$  alrededor de 34).

Por lo tanto la necesidad de una mayor acidez encontrada en los alcoholes está bien entendida ( $pK$  alrededor de 16 a - 18). Los  $pK$  están basados en una extrapolación.

El radical orgánico agrega otro electrón, el cual es un anión y toma el lugar del electrón en el ion par con el catión-solvatado.

El anión orgánico es nuevamente protonado por el alcohol y el dihidro derivado es de esta manera formado.

Como se dijo antes existen varios mecanismos de reacción propuestos, pero el explicado anteriormente es el más aceptado.

El producto obtenido en esta síntesis por medio de la --reducción de Birek (VIII) fue confirmada su estructura y configu-

ración por medio de sus propiedades espetrales proporcionadas - por la D.R., la RMN y el D.C. así como el análisis de conformación.

Obteniéndose de esta manera el metil- $\Delta$ -hidroxi-11 $\beta$ -nor-19-retro-(9 $\beta$ H-10 $\alpha$ H)-testosterona (VIII), compuesto que presenta un enlace de los anillos A/B trans, y de los anillos B y C un enlace cis y la siguiente conformación,

- a) media silla
- b) silla
- c) silla
- d) media silla

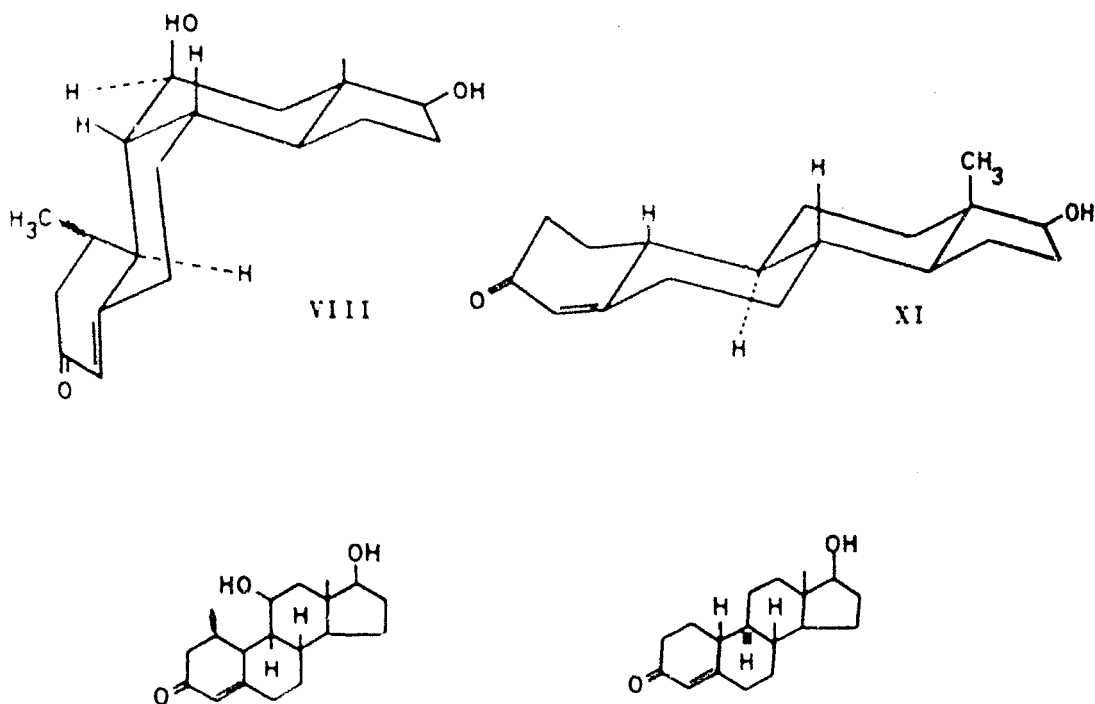
En este compuesto no se tiene certeza de la posición en que se encuentra el 1-Me, pero si la configuración de este grupo fuera alfa la conformación de la molécula haría que las distancias entre el 1-Me y el C-11, así como las distancias del 1-H y 11-C-H fueran menores que las distancias existentes en el caso de que el 1-Me fuera B, en donde las distancias del 1-Me y C-9, así como la distancia del 1-H y 9 $\beta$ -H son mayores.

Por lo que es más probable que la configuración del 1-Me sea  $\beta$  y no  $\alpha$ , debido a la adición probable de H $^+$  del lado  $\alpha$  de la molécula.

El examen del modelo molecular del compuesto retro-esteroide sintetizado, nos muestra que este producto (VIII), ha sufrido un completo y complicado cambio de estereoquímica en comparación del compuesto normal, presentando una configuración enan-

tiómera en C-9 y C-10 de la nor-19-testosterona (XI).

Lo cual se puede ver fácilmente por los dibujos de la configuración estereoquímica de estos dos compuestos, logrados de los modelos de Dryden.



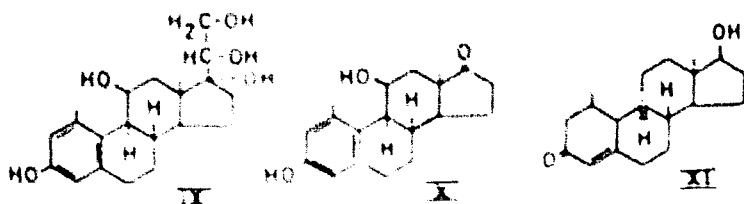
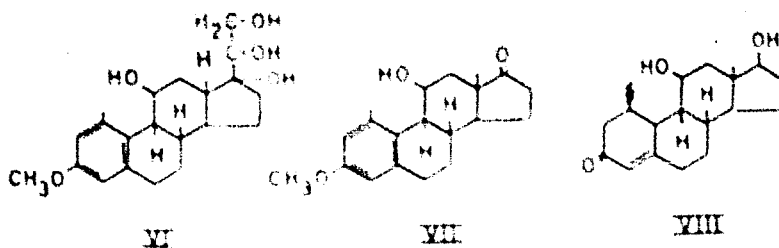
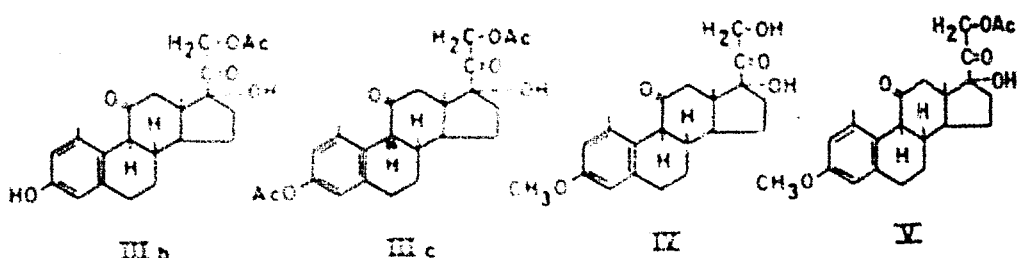
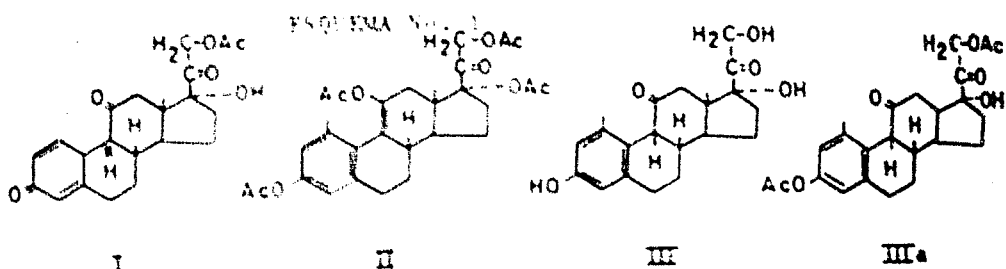
Con objeto de encontrar mejores condiciones de reacción se siguió otra ruta diferente a la mencionada, desde el producto (III).

Compuesto en el cual se fijó inmediatamente la configuración cis de los anillos B y C mediante la reducción con díborano, lo cual nos condujo al compuesto (IX), el cual fue debidamente identificado y que ya anteriormente se había obtenido median-

te una serie de 6 pasos, obteniéndose en esta nueva ruta con dos pasos menos. Este compuesto (IX) fue tratado con peroxidato de sodio, con objeto de degradar la cadena lateral, obteniéndose un nuevo producto el metil-1-dihidroxi-3 $\beta$ ,11 $\beta$ -(9 $\beta$ H)-estratrien- --- 1,3,5(10)-ona-17 (X). La metilación efectuada con CH<sub>3</sub>I del 3 - fenol nos condujo al metoxi-3-hidroxi-11,-13-9(H)-estratrien- --- 1,3,5(10)-ona-17 (VII), compuesto que fue debidamente identificado, comprobándose de esta manera también la estructura y la configuración asignadas al producto anterior (X).

La metilación después de la degradación de la cadena lateral evitó que hubiera sido posible un D-homo rearrreglo como se había obtenido anteriormente en varias ocasiones al metilar el compuesto (III), compuesto que contiene la cadena lateral.

El producto (VII) fue reducido por el método de Birch, el cual seguido de una hidrólisis ácida, nos proporcionó finalmente el metil-1-dihidroxi-11 $\beta$ ,17 $\beta$ -nor-19-eto-3-(9 $\beta$ H-10 $\alpha$ )-androsteno-4 (VIII).



**CAPITULO IV**  
**PARTE EXPERIMENTAL**

**CAPITULO IV**  
**PARTE EXPERIMENTAL**

## PARTE EXPERIMENTAL.

### AROMATIZACION DE LA PREDNISONA.

10 g. de prednisona se disolvieron en 250 ml. de anhídrido acético, a esta suspensión del esteroide se le agregó una mezcla de anhídrido acético (50 ml.) con ácido perclórico (0,5 ml. al 70% en peso), la cual se fue agregando gota a gota en la solución previamente enfriada con hielo. Se agitó magnéticamente durante 6 horas, a temperatura ambiente.

La suspensión del esteroide se torna amarilla clara al agregar la mezcla de anhídrido acético y ácido perclórico y al cabo de 10-15 minutos toma un color café oscuro. Transcurridas las 6 horas de agitación se lava con una solución al 10% de bicarbonato de sodio y se extrae con acetato de etilo, el cual se lava con agua a pH neutro, se seca sobre sulfato de sodio anhídrico y se evapora a sección al alto vacío.

El producto obtenido (3,81 g.) es un aceite amarillento con un  $\lambda_{\text{max}}$  = 242-4 m $\mu$ , fue cromatografiado sobre 500 g. de Florisil y siendo las fracciones selladas con hexano-benceno 50 y 75% respectivamente, obteniéndose 13,15 g. de producto.

El cual fue cristalizado de hexano-benceno, obteniéndose así: tetraacetato- $\Delta^{3,11(17,21)}$ -metil- $\alpha$ -metro-19-pregnatetraeno- $\Delta^{1,3,5(10),17}$ -ol. Que presenta:

**NOTA:** Los análisis de confirmación fueron efectuados por Dr. Bernhardt, Instituto Max Planck, Münster (Alemania), la **ESR** por Dr. J. L. Gómez, Centro INAM (Méjico) y el D.G.C. por Dr. G. Gómez, Instituto de Química, Universidad Nacional Autónoma de México.

p.f. ----- 90-93°

$[\alpha]_D^{25}$  (CHCl<sub>3</sub>) ---- +6.4°

$\lambda_{\text{max}}^{\text{EtOH}}$  ----- 242 m $\mu$  (log ε 4.1)

$\lambda_{\text{max}}^{\text{KBr}}$  ----- 5.65, 5.72, 5.75 y 8.07 μ

Análisis calculado para C<sub>29</sub>H<sub>34</sub>O<sub>9</sub>

C = 66.14, H = 6.51 O = 27.35

Análisis encontrado

C = 66.95, H = 6.48 O = 27.52

Rendimiento: 90.3%

Bailey y col. (J. Chem. Soc. 4535 [1961])

reportaron un aceite con:

$\lambda_{\text{max}}^{\text{EtOH}}$  242 m $\mu$  ( $\epsilon_{1\text{cm}}^{1\%}$  248 ( o sea [log ε  
4.12])

$\lambda_{\text{max}}^{\text{nujol}}$  ----- 1754 y 1210 cm<sup>-1</sup>

(acetato aromático)

1734 y 1234 cm<sup>-1</sup>

(acetato)

840 cm<sup>-1</sup> (tipo meta)

HIDROLISIS DEL tetraacetoxi-3,11,17,21-metil-1-nor-19-pregnano-tetraen-1,3,5(10),9(11)-ona-20, (11)

Esta reacción se efectúa en presencia de corriente de nitrógeno seco, desde 10 minutos antes de efectuarla hasta que se termina.

10 g. de este producto se disolvieron en 392 ml. de metanol anhidro y se le agregaron 30 ml. de solución 2.4 N de metáxido de sodio, se dejó pasar la corriente de nitrógeno durante 30 min., al cabo de los cuales se agregó 10 ml. de agua y se dejó pasar otra media hora la corriente de nitrógeno, entonces se agregó 126 ml. de agua y 30 ml. de ácido acético glacial.

Se adicionó solución saturada de cloruro de sodio previamente refrigerada con hielo y se hizo una extracción con acetato de etilo, se secó sobre sulfato de sodio anhidro y se evaporó a sequedad con alto vacío, obteniéndose un producto aceitoso (esposa blanca)

EtOH  
 $\lambda_{\text{max}}$  ----- 280 m $\mu$ . (log  $\epsilon$  3.17)

EtOH  
 $\lambda_{\text{max}}$  ----- 248-250 m $\mu$ . (log  $\epsilon$  3.70)  
medio alcalino.

Se comprobó la obtención de este producto mediante una cromatografía en placa que se corrió con 95% de cloroformo, 5% de metanol y que se reveló con yodo. Comprobándose que el producto obtenido es más polar que el producto antes de la reacción (III). El producto arrollado por chromatografía en columna no se pudo cristalizar porque fue acetilado.

Diacetoxi-3,21-didioxo-17-(metil)-lance-19- $\alpha$ -pregnatrien-1,3,5(10)-trona-(17,20) (IIIa).

ACETILACION DEL COMUESTO III.

Esta reacción se verificó con 5 g. de producto (III) y

con 25 ml. de piridina y 25 ml. de anhidrido acético que se dejaron durante una noche a temperatura ambiente. (Reacción detallada más adelante).

En esta reacción se obtuvo una mezcla de tres compuestos: IIIa, IIIb y IIIc respectivamente el diacetoxi-3,21-hidroxi-17-(metil)-1-nor-19-(9<sup>3</sup>H)-pregnatrien-1,3,5(10)-diona-11,20 --- (IIIa); el acetoxi-21-dihidroxi-3-,17-(metil)-1-nor-19-(9<sup>3</sup>H)- -- pregnatrien-1,3,5(10)-diona-11,20 (IIIb); y el diacetato-3,21-- hidroxi-17-(metil)-1-nor-19-(9<sup>3</sup>H)-pregnatrien-1,3,5(10)-diona- -11,20 (IIIc).

Las propiedades físicas y espetrales encontradas para estos tres compuestos son las siguientes:

Para el diacetoxi-3,21-hidroxi-17-(metil)-1-nor-19-(9<sup>3</sup>H)-pregnatrien-1,3,5(10)-diona-11,20 (IIIa),

p. f. 191-192°C

$\lambda_{\text{max}}^{\text{ECD}} 108^\circ \text{ (CHCl}_3)$

D. R. (C, 0,029 en metanol)

$\phi = 700^\circ 526^\circ, \phi = 589^\circ 725^\circ$

$\phi = 312^\circ, \phi = 18,387^\circ, \phi = 280^\circ, 1,916^\circ (1)$

D. C. (C, 0,14 en dioxano)

$\epsilon = 296^\circ 8,104, \epsilon = 296^\circ 26,743$

$\lambda_{\text{max}}^{\text{KBr}}$  2,96  $\mu$ , 5,66  $\mu$ , 5,71  $\mu$ , 5,78  $\mu$ .

$\lambda_{\text{max}}^{\text{HgI}_2}$  5,91  $\mu$ .

N.M.R. 59,4 cps (118 Me)<sub>2</sub> 123,8 cps (1-*Me*)-

128,1 cps (21-AcO) 135 cps (3-AcO).

Pesadumbre 374,56.

Bailey y col. reportaron:

p.f. 187-189°

$[\alpha]_D^{\circ} + 121^\circ$  ( $\text{CHCl}_3$ )

NMR 58.5 cps. (18-Me); 123 cps (1-Me);  
128 cps. (21-AcO); 135 cps (3-AcO).

Rendimiento: 34%

Para el acetato-21-dihidroxi-3 $\beta$ ,17 $\beta$ -metil-1-nor-19 $\alpha$ (9 $\beta$ H)-

Pregnatrien-1,3,5(10)-dionas-11,20 (111b) son:

p.f. 224-226° (crystallos)

$[\alpha]_D^{\circ} + 116^\circ$  ( $\text{CHCl}_3$ )

D.R. (c, 0.022 en metanol)  $[\phi] 600 + 260^\circ$

$[\phi] - 342.5 + 24.200$ ;  $[\phi] - 295 + 1.080^\circ$

$\lambda_{\text{max}}^{\text{EtOH}}$  282-284° m. (log e 3.22)

y en medio alcalino:

$\lambda_{\text{max}}^{\circ}$  242-244 m. (log e 4.0); 296-298 m.

(log e 3.5)

$\lambda_{\text{max}}^{\text{KBr}}$  2,93 m., 3,72 m., 5,81 m., 5,93 m., 8,15 m.

Reacciones (+ positivas) del cloruro de trifentil  
tetrazolium y del cloruro férreo.

Análisis calculado para  $C_{23}H_{28}O_6$ :

C: 68.98, H: 7.05, O: 23.97.

Peso molecular: 400,4

Análisis encontrados:

C: 69,31 H: 7,07 O: 23,46

Peso molecular (Rast) 404.

Para el otro producto obtenido, en el cual no hubo inversión de la configuración en C-9, y que fue identificado como: diacetato-3,21-hidroxi-17 $\alpha$ -metil-1-snor-19 $\alpha$ (9 $\beta$ )-pregnatrien-1,3,5(10)-diona-11,20 (111-), las propiedades son las siguientes:

p.f. 226-230°

[ $\alpha$ ]<sub>D</sub> +262° (CHCl)<sub>3</sub>

D.R. (c, 0,052 en metanol) [ $\phi$ ] 700 +460°;

[ $\phi$ ] 589 +778°; [ $\phi$ ] 311 +15,116°;

[ $\phi$ ] 275 +2,695°

D.C. (c, 0,13 en dioxano); [ $\tau$ ] 240,300 +4,975

[ $\phi$ ] 296-300 +16,418

RMN: 41 cps (18-Me); 148 cps (1-Me); 124 cps

(21-AcO); 134,5 cps (3-AcO).

I.R.  $\lambda_{\text{max}}^{\text{KBr}}$  2,91, 3,24, 5,75, 5,78, 8,13 $\mu$

Bailey y col. reportaron:

p.f. 235-236°

[ $\alpha$ ]<sub>D</sub> +268° (CHCl)<sub>3</sub>

$\epsilon_{\text{max}}^{2041^{\text{obs}}}$  3,440  $\text{cm}^{-1}$ ; 1714 y 1210  $\text{cm}^{-1}$

(Ac, C=O,  $\alpha$ -methyl-11 $\alpha$ ); 1714 y 1240  $\text{cm}^{-1}$

$\epsilon_{\text{max}}^{2041^{\text{calcd}}}$  3,390 (2920  $\text{cm}^{-1}$ ); 1090  $\text{cm}^{-1}$

(11-cetona)  $848\text{ cm}^{-1}$  (tipo metal).

Que corresponden a:

2.9  $\mu$ , 5.75  $\mu$ , 8.25  $\mu$  (acetato aromatico), 5.75  $\mu$ , 3.1  $\mu$ , (21-AcO), 5.78  $\mu$  (20-cetona), 9.18  $\mu$  (11-cetona, 5.23  $\mu$  (tino  $\alpha$ -meta).

Metoxi-3-aceto-21-hidroxi-17 $\alpha$ -metil-1-nor-19-(9 $\beta$ H)-pregnatrien-diona-11,20 (V).

METILACION Y ACETILACION de la trihidroxi-3,17 $\beta$ ,21-metil-1-nor-19-  
 -(9 $\alpha$ H)-pregnatrien-1,3,5(10)-diona-11,20 --  
 [III].

14 g. de este producto fueron disueltos en 500 ml. de acetona destilada sobre carbonato de potasio anhídrico y tratados con 34 g. de carbonato anhídrico y 18 ml. de sulfato de metilo redestilado.

Se reflujoó durante 24 horas y se agregaron 10 g. más de carbonato también anhidro y 5 ml. de sulfato-metilo. Se reflujoó nuevamente otras 24 horas, se filtró, se lavó con acetato de etilo y se evaporó asequidad en alto vacío. Enseguida se verificó la fracción de acetalización.

Antiplaque.—El. powder retained anterior teeth in acrylic cast  
dissolved in distilled water 40 ml. Acrylic resin + water 60 ml.  
In addition acrylic powder 10 g. and acrylic resin 10 g. Acrylic resin  
was added to acrylic powder until no lumps remained. After mixing well  
the mixture was applied to the teeth.

hielo y agua fría, más solución saturada de cloruro de sodio y ácido clorhídrico al 10% hasta pH. Ácido se extrajo con acetato de etilo, se neutralizó hasta pH de 7 y se secó sobre sulfato de sodio anhídrico, se evaporó asequedad al alto vacío.

Obteniéndose por cristalización de benceno 2 g., y por cromatografía de las aguas madreas sobre 500 g. de alúmina en las fracciones eluidas con benceno 15-25% de  $\text{CHCl}_3$  1,1 g. de 11-metoxi-3-acetato-21-hidroxi-(17 $\beta$ -metil)-1-nor-19-(9 $\beta$ H)-pregnatrien-1,3,5(10)-diuna-11,20 (V). Que presenta:

p.f. 124-127° y 173-174° (cristales dímeros)

$[\alpha]_D^{25} +26$  ( $\text{CHCl}_3$ )

D.R. ( $c = 0,029$  en metanol)  $[\phi] 700 \rightarrow 145^\circ$ ,  $\infty$

$589 \rightarrow 497^\circ$ ,  $\infty$   $310 \rightarrow 20,783^\circ$ ,  $\infty$   $\infty$   $\infty$

$[\phi] 290 \rightarrow 83,30^\circ$

$\lambda_{\text{EtOH}}^{\text{max}}$  278 nm ( $1,0g \cdot c = 3,13$ )

$\lambda_{\text{KBr}}^{\text{max}}$  2,98  $\mu$ , 3,72  $\mu$ , 5,78  $\mu$ , 5,95  $\mu$ , 7  $\infty$

8,14  $\infty$

IRCS 3,8  $\nu_{\text{ps}}$  (18-Me), 123  $\nu_{\text{ps}}$  (1-Me),  $\infty$   $\infty$

128  $\nu_{\text{ps}}$  (21-A-OH), 188  $\nu_{\text{ps}}$  (9 $\beta$ H),  $\infty$   $\infty$

224  $\nu_{\text{ps}}$  ( $\text{CH}_3$ -O)

$\Delta \text{Hf} (1 \text{ mol})$  calentamiento para  $C_{24}H_{36}O_6$

$\Delta H_f = 69,14 \text{ Kcal} / \text{mol} = 23,46$

$\Delta G_f = - 10,00 \text{ Kcal} / \text{mol}$

$\Delta S_f = 14,4 \text{ E.U.} = 33,4$

Metoxi-3-tetrahidroxi-11 $\alpha$ ,17 $\alpha$ ,20 $\beta$ ,21 $\beta$ -metil-1-nor-19-(9 $\beta$ H)-pregnatrien-1,3,5(10) (VI).

REDUCCION DEL metoxi-3-acetato-21-hidroxi-17 $\alpha$ -metil-1-nor-19-(9 $\beta$ H)-pregnatrien-1,3,5(10)-diona-11,20 (V).

2 g. de este compuesto se disolvieron en 25 ml. de tetrahidrofurano anhídrico y a través de la solución conteniendo el esteroide se pasó una corriente de díborano, la cual fue originada por 40 g. de hidruro doble de sodio y boro y 100 ml. de trifluoruro de boro. La corriente del díborano se pasó de 3-5 horas, hasta completa saturación de la solución del esteroide, después de lo cual se dejó toda una noche en la atmósfera del díborano, a temperatura ambiente.

Enseguida se agregó agua poco a poco, enfriando la solución con hielo, se hizo una extracción con acetato de etilo, se secó sobre sulfato de sodio y se evaporó a sequedad al alto vacío.

El complejo de boro obtenido, se disolvió en 15 ml. de tetrahidrofurano destilado, se agregó 30 ml. de soda al 10% y 60 ml. de peróxido de hidrógeno también al 10%, se agitó magnéticamente durante una hora a temperatura ambiente, se agregó agua destilada, ácido clorhídrico al 10% hasta pH Ácido, y solución saturada de cloruro de sodio, se extrajo con acetato de etilo, se ajustó el pH a neutralidad con cloruro de sodio, se secó sobre sulfato de sodio anhídrico, se evaporó y secó al alto vacío.

Obteniéndose en esta forma el metoxi-3-tetrahidroxio-  
-11 $\beta$ ,17 $\alpha$ ,20 $\beta$ -metil-11 $\alpha$ -eteno-19(9,10)-pregnatrien-1,3,5(10) (VI).

Compuesto que no pudo ser completamente identificado  
sino hasta después de la degradación de la cadena lateral.

Basado en las anteriores reacciones de reacción se pudo obtener y aislar por cristalización el compuesto: pentahidroxio-  
-3,11,17 $\alpha$ ,20,21-metil-11 $\alpha$ -eteno-19(9,10)-pregnatrien-1,3,5(10) (IX) -  
(VI) en una reacción en donde no se había efectuado la metilación  
por causas desconocidas.

El producto (IX) presenta las siguientes propiedades -  
físicas y espectrales:

p.f. 237-240°

$\lambda_{\text{max}}^{\text{ECD}}$  250°

$\lambda_{\text{max}}^{\text{KBr}}$  282-284 m. (log e 3,4)

NH neutralizado

$\lambda_{\text{max}}^{\text{KBr}}$  246 m. (log e 4,01) 296 m.

(log e 3,35)

Análisis calculado para C<sub>31</sub>H<sub>30</sub>O<sub>5</sub>

C: 69,58 H: 8,34 O: 29,07

A: 41% (no extráctado)

C: 69,50 H: 8,18 O: 29,98

Metoxi-1-estriol, 11 $\alpha$ -eteno-19(9,10)-pregnatrien-1,3,5(10) acetona-  
II (VIII).

ESTIMACION DE LA CONCENTRACION DE METOXI-1-ESTRIOL EN EL 11-Aceto-

2 g. de este producto se disolvieron en 100 ml. de metanol destilado y se agregó 2.00 g. de peroxidato de sodio en 40 ml. de agua destilada, se agitó media hora a temperatura ambiente, al cabo de la cual se agregó solución al 10% de ácido clorhídrico, más solución saturada de cloruro de sodio y se extrajo con acetato de etilo, se lavó hasta pH neutro, se secó sobre sulfato de sodio anhidro y se evaporó a sequedad con alto vacío. El producto obtenido se cromatógrafió sobre 100 veces su peso de alúmina. Y en las fracciones eluidas con benceno -- 5.15% de cloroformo se obtuvo el: metoxi-3-hidroxi-19-metil-estratrien-1,3,5(10)-cetona-17 (VII). Producto que presenta:

$\mu_f$ . 138-140°

$\lambda_{\text{abs}}$  246° (CHCl<sub>3</sub>)

$\lambda_{\text{EtOH}}$  283 m. (log ε 3.16)

$\lambda_{\text{KBr}}$  2.96 .., 5.76 ..

Análisis calculado para C<sub>20</sub>H<sub>26</sub>O<sub>3</sub>

C: 76.40, H: 8.34

Análisis encontrado:

C: 76.3, H: 8.10

Rendimiento:

Metyl-19-dihidrox-11,17-andro-19-ceto-3-(9 $\beta$ -10 $\alpha$ H)-androstano-1, (VIII)

BENZOLIC DE 19 $\beta$ -metoxi-3-hidroxi-19-metil-1-(9 $\beta$ H)-estratrien-1,3,5(10)-cetona-17 (VIII).

En 100 ml. de acetofeno se agregaron 140 mg. de este compuesto disuelto en 10 ml. de THF anhídrico más 1 g. de litio se agitó durante 90 minutos (produciéndose un color azul dorado) después se agregó etanol hasta que la solución se tornó blanca. Se dejó evaporar el acetofeno y se procedió a hacer una extracción con acetato de etilo, se agregó ácido clorhídrico al 10% hasta pH 5-6, más una solución saturada de cloruro de sodio y agua de hielo, se ajustó el pH a neutralidad con poca agua, se agregó sulfato de sodio anhídrico, se evapó y se secó al baño vacío.

El producto crudo, por análisis de UV dí6 un máximo de 282 m $\mu$ . Enseguida, se procedió a hacer una hidrólisis con ácido clorhídrico para lo cual, 1,39 g. del compuesto se disolvieron en 10 ml. de etanol destilado y se agregaron 3 ml. de ácido clorhídrico 10%, se refluxó durante 15 minutos, se evapó con alto vacío y el producto crudo por examen del UV dí6 un máximo de 230 m $\mu$ .

El producto obtenido (119 mg.) fue cromatografiado sobre 30 g. de alodrina y en las fracciones eluidas con 100% de cloroformo se obtuvo un producto cristalino con un UV  $\lambda_{max}$  de 240 m $\mu$ .

El producto cristalizado acetona-heptano. Obteniéndose de tal manera el esteroide hidroxetil-17 $\alpha$ -nor-19-ceto-3 $\beta$ , $5\beta$ -H<sub>2</sub>androstenediol, el cual muestra analíticamente presentar:

p.f. 200-201°

$[\alpha]_D^{25} +75$  ( $\text{CHCl}_3$ )

D.R. (C. 0.018 en dioxano):  $[\phi] 600^+ 243,$

$[\phi] 365^+ 2.280^\circ$   $[\phi] 277.5^- 9.363^\circ$

$[\phi] 270^- 8.816^\circ$

EtOH

$\lambda_{\text{max}}^{KBr}$  244-246 m $\mu$ . (Log.  $\epsilon$  4.11) y

300-304 m $\mu$ . (Log.  $\epsilon$  2.15)

$\lambda_{\text{max}}^{KBr}$  2.82  $\mu$ , 6.0  $\mu$ , 6.19  $\mu$

Análisis calculado para  $\text{C}_{19}\text{H}_{28}\text{O}_3$

C: 74.96 H: 9.27

Análisis encontrado:

C: 74.94 H: 9.73

Rendimiento: 20%

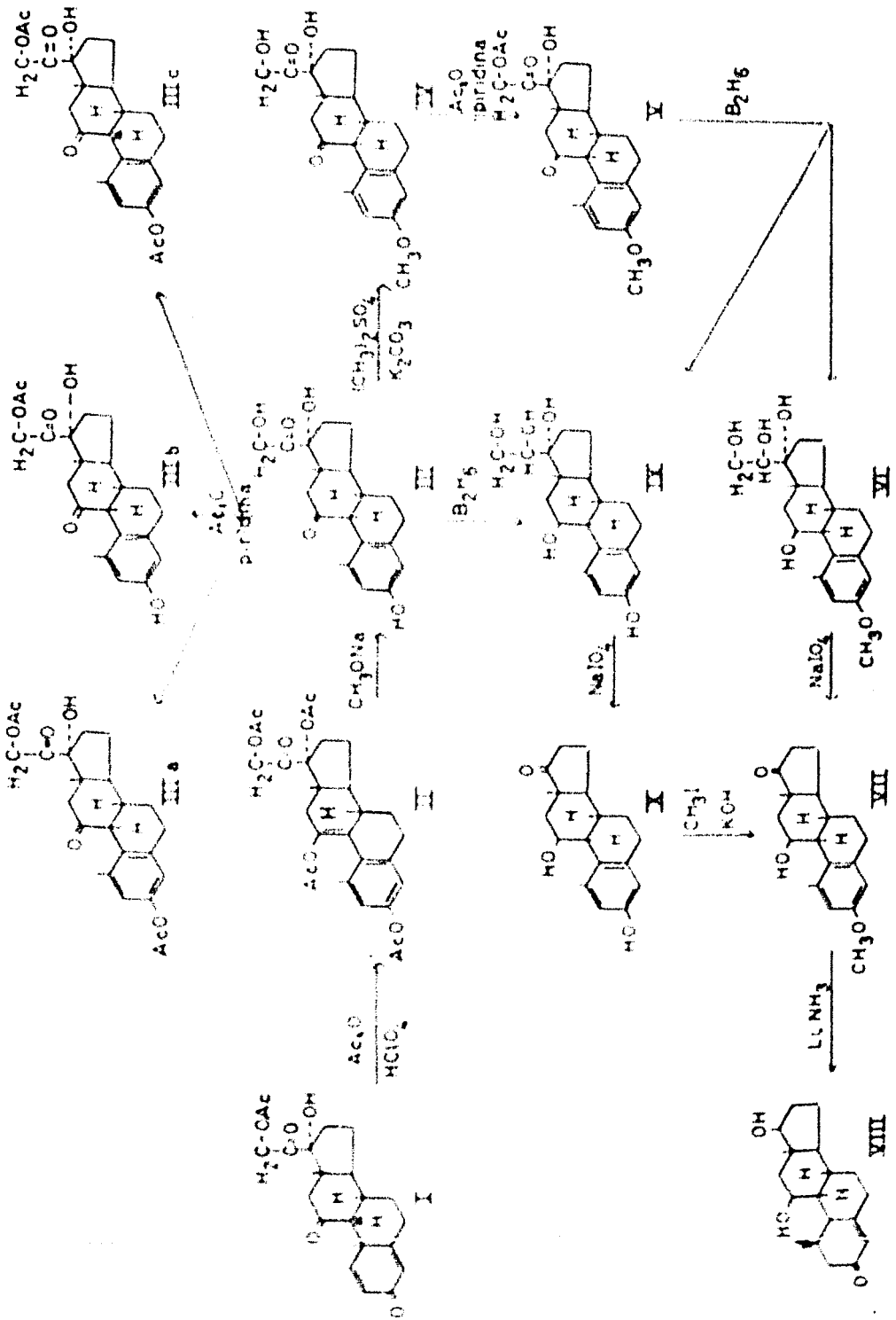
Con objeto de encontrar mejores condiciones de reacción se siguió una nueva ruta, en la cual no se cambiaron las condiciones de reacción antes citadas excepto para la metilación pero se invirtió el orden de la síntesis.

Esta otra forma de metilación se efectuó con yoduro de metilo de la manera siguiente:

0.70 g. de hidróxido de potasio Q.P. se disolvieron en 5 ml. de metanol destilado, se agregó entonces 2 g. del producto por metilar (X), y se agitó hasta disolución total, después se agregaron 0.60 ml. de yoduro de metilo y se dejó refluyando durante 6 horas, después se lavó con poca agua y se extrajo

jo con acetato de etilo, seguido después sobre sulfato de sodio anhídrico y evaporando a sequedad al alto vacío, se obtuvo el compuesto en forma aceitosa, el cual por cristalización de acetona hexano nos proporcionó el metoxi-3-hidroxi-11 $\beta$ -metil-1-9 $\beta$ -estra-trien-1,3,5(10)-ona-17 (VII).

Compuesto cuyas propiedades son mencionadas anteriormente.



## **CAPITULO V**

### **CONCLUSION**

## C O N C L U S I O N

En este trabajo se describe la primera preparación - por síntesis enteramente química de un retro-esteroide ( $9\beta,10\alpha$ ). Es también la primera síntesis de un 19-nor-retro-esteroide.

La importancia de los 19-nor-esteroïdes, así como de los retro-esteroïdes, es bien conocida. Así que la síntesis descrita en esta tesis, puede abrir un capítulo nuevo de la química de los derivados del ciclopantanoperhidrofenantrenos, permitiendo llegar fácilmente a una nueva clase de compuestos de estereoquímica anormal.

El futuro nos indicará si la actividad biológica de estos derivados tiene un interés semejante al aspecto tórico -- presentado por su síntesis en el laboratorio.

La preparación del nuevo compuesto (VIII) descrito - aquí, implicó la aplicación de métodos modernos de investigación, como son el ultra-violeta, infrarrojo, dispersión rotatoria, di-croismo circular, resonancia magnética nuclear y análisis de conformación.

Subrayando la importancia de estas técnicas, podemos decir que es gracias a ellas que fue posible de llevar a cabo en poco tiempo la síntesis del primer compuesto de una clase enteramente nueva de esteroïdes.

## **CAPITULO VI**

### **BIBLIOGRAFIA**

## BIBLIOGRAFIA

- 1.- W. Dirscherl Z. Physiol. Chem. 239, 53 (1936)
- 2.- W. Dirscherl Z. Physiol. Chem. 233, 13 (1935)
- 3.- C. Djerassi, L. Miramontes and G. Rosenkranz, Am. Soc. 73, 3540 (1951); 75, 4440 (1953).
- 4.- Topics in Organic Chemistry, Reinhold Publ. Corp. N. Y. (1963)
- 5.- Butenandt A. Friedrich, and W. Poschman L. Ber. 75 1931 (1942).
- 6.- Butenandt y L. Poschman, Ber. 77, 394 (1944)
- 7.- J.P.L. Bots, Recueil, 77, 1010 (1958).
- 8.- Windaus, (trabajos resumidos por L. Fieser y M-Fieser) en Topics in Organic Chemistry, Reinhold Publ. Corp. N. Y. 1963, pag. 231.
- 9.- J. Castells, E. H. R. Jones, G. D. Meakins, R. W. J. Williams, J. Chem. Soc., 1159, (1959).
- 10.- E. J. Bailey, J. Elks, J. F. Cughton et L.S. Stephenson. J. Chem. Soc., 4535 (1961).
- 11.- Steroids Reactions, edited by Carl Djerassi, Robert Shapir (1963), pag. 371.
- 12.- H. C. Brown, Tetrahedron, vol. 12 pag. 117-138 (1961).
- 13.- Steroid Reactions edited by Carl Djerassi (1963) pag. 371
- 14.- P. Westerhof y E. H. Reerink, Recueil Trav. Chim. 79, 771 795, (1960).

- 15.- P. Westerhof y E. H. Reerink, Recueil Trav. Chim. 79, 1118 (1960).
- 16.- D. A. Shepard y Col., Journal Am. Chem. Soc. 77, 1212 (1955).
- 17.- Ehreinstein G.W. Barker, 587 (1959)
- 18.- Ehreinstein (Trabajos resumidos por L. Fieser y M. Fieser) en Steroids, Reinhold Publ. Corp. N. Y. (1959) pag. 586
- 19.- Schöler, Acta Endocrinologica 35, 188-196 (1960)
- 20.- K. G. Tillingher y E. Diesfalussy 35, 197-203 (1960)
- 21.- Organic Chemistry, Donald Cram y Hammond (1959) pag. 209
- 22.- Hidroboración, H. C. Brown, Inc., New York (1963).
- 23.- Topics in Organic Chemistry, Reinhold Publ. Corp. N.Y. (1963) pag. 444.
- 24.- H. C. Brown and G. Zweifel, J. Am. Chem. Soc. 82, 1504 (1960).
- 25.- H. C. Brown and G. Zweifel J. Amer. Chem. Soc. 81, 247 (1959).
- 26.- H. C. Brown and B. C. Subba Rao, J. Am. Chem. 28, 783-786 (1963)
- 27.- H. G. Kuivila, J. Am. Chem. Soc., 76 870 (1954) Ibid 77, 4014 (1955)
- 28.- J. R. Johnson and M. G. Van Campen J. Am. Chem. Soc. 60, 121 (1938).
- 29.- H. C. Brown et B. C. Subba Rao, J. Org. Chem. 22, 1136 (1957).

- 30.- D. Cram, Organic Chemistry (1959) pag. 434.
- 31.- A. J. Birch and co-workers, J. Chem. Soc., 430, (1944).
- 32.- A. J. Birch and co-workers, J. Chem. Soc., 809 (1945).
- 33.- A. J. Birch and co-workers, J. Chem. Soc., 593 (1946).
- 34.- A. J. Birch and co-workers, J. Chem. Soc., 102, 1612 (1947).
- 35.- Steroid Reactions, edited by Carl Djerassi (1963) pag. 269
- 36.- Steroid Reactions, edited by Carl Djerassi (1963) pag. 270  
271.